



---

# INFORME DE DETERMINACIÓN DE PARÁMETROS DE PARTIDA Y DETENCIÓN PSFV TAMARICO

Informe Técnico

Preparado para:

**Tamarico  
Solar Dos SpA**

Noviembre – 2024

A 1086 | R 1120-24

# TABLA DE CONTENIDOS

<b>TABLA DE CONTENIDOS.....</b>	<b>2</b>
<b>ÍNDICE DE TABLAS Y GRÁFICOS.....</b>	<b>4</b>
<b>ABREVIATURAS Y ACRÓNIMOS.....</b>	<b>6</b>
<b>REGISTRO DE COMUNICACIONES .....</b>	<b>7</b>
<b>SECCIÓN PRINCIPAL .....</b>	<b>8</b>
<b>1. INTRODUCCIÓN.....</b>	<b>8</b>
1.1. Definiciones y nomenclatura .....	8
1.2. Marco normativo .....	9
<b>2. DESCRIPCIÓN DE LAS INSTALACIONES.....</b>	<b>9</b>
2.1. Descripción general de la planta.....	9
2.2. Datos de los paneles solares.....	14
2.3. Datos de los inversores.....	15
2.4. Datos de los transformadores de bloque.....	16
2.5. Datos del transformador de potencia .....	17
2.6. Datos de los cables del sistema colector.....	17
2.7. Reactor Zig zag.....	18
2.8. Línea de transmisión.....	18
<b>3. ANTECEDENTES DE UNIDADES DE SIMILARES CARACTERÍSTICAS .....</b>	<b>19</b>
<b>4. ENSAYOS REALIZADOS.....</b>	<b>19</b>
4.1. Descripción de las pruebas .....	19
4.2. Toma de registros de parámetros de partida y detención.....	20
4.3. Resultados obtenidos.....	20
4.3.1 Determinación del consumo de servicios auxiliares.....	20
4.3.2 Parámetros de Partida y Detención a nivel parque.....	21
4.3.3 Parámetros de Partida y Detención a nivel inversor.....	24
<b>5. CONCLUSIONES .....</b>	<b>26</b>
<b>ANEXOS.....</b>	<b>27</b>
<b>1. CARACTERÍSTICAS DE LAS INSTALACIONES.....</b>	<b>27</b>
<b>2. DETERMINACIÓN DE LOS SERVICIOS AUXILIARES DE LOS INVERSORES</b>	<b>28</b>

**3. DIAGRAMAS DEL CONTROL DE PLANTA ..... 28**

## ÍNDICE DE TABLAS Y GRÁFICOS

Tabla 1. Datos técnicos de los transformadores de bloque de dos arrollamientos. ....	16
Tabla 2. Datos técnicos de los transformadores de bloque de tres arrollamientos.....	17
Tabla 3. Datos técnicos del transformador de potencia. ....	17
Tabla 4. Datos técnicos de los cables del sistema colector. ....	18
Tabla 5. Datos técnicos del reactor Zig - Zag. ....	18
Tabla 6. Datos técnicos de la línea de transmisión. ....	18
Tabla 7. Proceso de Arranque en PSFV Meseta de los Andes.....	19
Tabla 8. Proceso de partida en el PSFV Meseta de los Andes. ....	19
Tabla 9. Consumo de los SSAA de los inversores. ....	20
Tabla 10. Estampas de tiempo para el proceso de partida y detención a nivel planta....	23
Tabla 11. Estampas de tiempo para el proceso de partida y detención a nivel inversor. 25	
Tabla 12. Parámetros de partida del Parque Solar Fotovoltaico Tamarico. ....	26
Tabla 13. Parámetros de detención del Parque Solar Fotovoltaico Tamarico. ....	26
Gráfico 1. Sistema equivalente de un parque fotovoltaico. ....	8
Gráfico 2. Ubicación geográfica del PSFV Tamarico. ....	10
Gráfico 3. Esquema unilineal de la SE Tamarico 1 – parte 1. ....	11
Gráfico 4. Esquema unilineal de la SE Tamarico 1 – parte 2. ....	12
Gráfico 5. Diagrama unilineal del sistema colector del PSFV Tamarico ....	13
Gráfico 6. Características técnicas de los paneles solares.....	14
Gráfico 7. Características generales de los inversores.....	15
Gráfico 8. Curva de capacidad de los inversores. ....	16
Gráfico 9. Consumo de SSAA esenciales de la SE Tamarico. ....	21
Gráfico 10. Potencia activa durante el proceso de partida y detención del parque fotovoltaico.....	22
Gráfico 11. Detalle del proceso de detención para el parque completo.....	22
Gráfico 12. Detalle del proceso de partida para el parque completo.....	23
Gráfico 13. Potencia activa durante el proceso de partida y detención a nivel inversor..	24
Gráfico 14. Detalle del proceso de detención a nivel inversor. ....	25
Gráfico 15. Detalle del proceso de arranque a nivel inversor. ....	25
Gráfico 16. Skids de inversores centrales PSFV Tamarico.....	27



## ABREVIATURAS Y ACRÓNIMOS

CEN	Coordinador Eléctrico Nacional
CNE	Comisión Nacional de Energía
ERNC	Energía Renovables No Convencional
NTSyCS	Norma Técnica de Seguridad y Calidad de Servicio
NT SSMM	Norma Técnica de Seguridad y Calidad de Servicio para Sistemas Medianos
PE	Parque Eólico
PSFV	Parque Solar Fotovoltaico
SET	Subestación Eléctrica
AT	Alta tensión
MT	Media tensión
BT	Baja tensión
ONAN	Oil Natural Air Natural
ONAF	Oil Natural Air Forced
SEN	Sistema Eléctrico Nacional
RCB	Regulador Bajo Carga
PMU	Power Management Unit

## REGISTRO DE COMUNICACIONES

Registro de las actividades, comunicaciones y aprobación de informes.

<b>N°</b>	<b>Fecha</b> dd/mm/año	<b>Preparó</b>	<b>Revisó</b>	<b>Aprobó</b>	<b>Observaciones</b>
1	27/11/2024	MF	FM	FM	Emisión Original

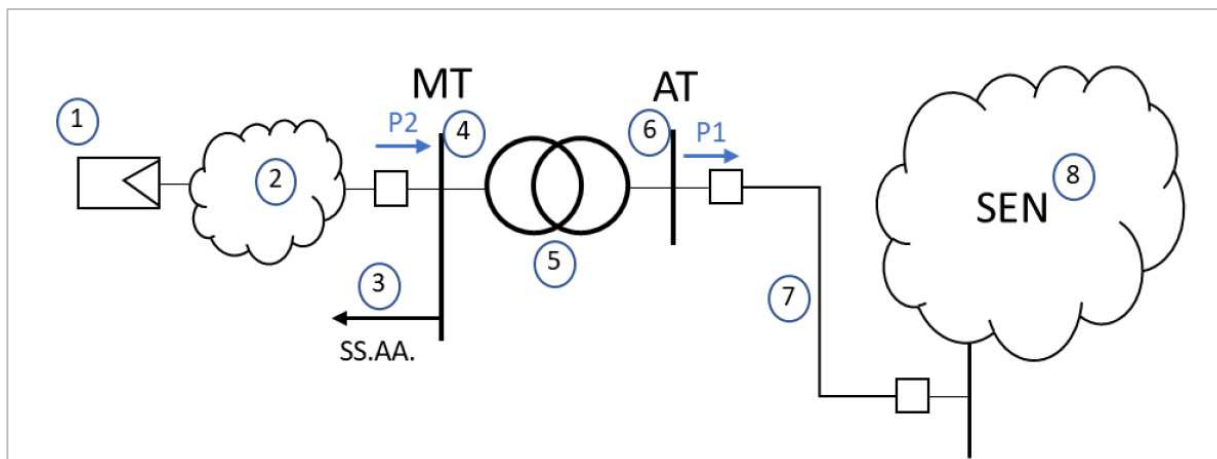
# SECCIÓN PRINCIPAL

## 1. INTRODUCCIÓN

En el presente informe se exhiben los resultados obtenidos en los ensayos de campo realizados en el Parque Solar Fotovoltaico Tamarico, durante los días 13, 14 y 15 de noviembre del año 2024, en relación con el proceso de determinación de los parámetros de partida y detención de la planta.

### 1.1. Definiciones y nomenclatura

En el siguiente gráfico se muestra un sistema equivalente de conexión de un parque renovable, el cual nos permite identificar y definir los siguientes elementos:



**Gráfico 1. Sistema equivalente de un parque fotovoltaico.**

**1) Generador equivalente:** Corresponde a la suma de los aportes distribuidos de potencia activa alterna de cada inversor del parque fotovoltaico.

**2) Pérdidas en sistema colector del parque (Pcolector):** Corresponde a las pérdidas del sistema colector del parque fotovoltaico, principalmente en cables de baja y media tensión, y en los transformadores colectores que elevan de baja a media tensión.

**3) Servicios Auxiliares de la central (SS.AA.):** Corresponde al consumo de servicios auxiliares de la subestación eléctrica de la planta sumados a los servicios auxiliares de los inversores.

**4) Barra de media tensión (MT):** Corresponde a la tensión en el lado de baja tensión del transformador de poder del parque fotovoltaico.

**5) Transformador de Poder:** Equipo elevador presente en la subestación de salida del parque fotovoltaico.

**6) Barra de alta tensión (AT):** Corresponde a la tensión en el lado de alta tensión del transformador de poder del parque fotovoltaico.

**7) Línea dedicada de la central:** Línea de alta tensión que vincula el parque fotovoltaico con el sistema eléctrico.



## 8) Sistema Eléctrico Nacional (SEN).

De acuerdo con las definiciones anteriores se considera la siguiente nomenclatura:

- P1: Potencia activa inyectada en la barra de AT del Parque. Este valor corresponde a la Potencia Neta del Parque (Pneta).
- P2: Potencia activa inyectada en el lado de media tensión del parque.
- Pbruta: Suma de los aportes de potencia activa de los inversores en el lado baja tensión (BT) del parque (en correspondencia con el punto 1 del Gráfico 1).
- Pperd: Potencia de pérdidas en la línea de transmisión (ver punto 7 del Gráfico 1).
- Ptrafo: Pérdidas activas en el transformador de potencia del parque.
- Pssa: Potencia de servicios auxiliares del parque.
- Pcolector: Pérdidas en el sistema colector del parque (ver punto 2 del Gráfico 1).

### 1.2. Marco normativo

Las pruebas realizadas se programaron en base al ANEXO TÉCNICO de la NTSyCS "Determinación de Parámetros para los Procesos de Partida y Detención de Unidades Generadoras", y los lineamientos de la Guía Técnica DCO N°01-2024 "Recomendaciones para la elaboración de los Informes de Determinación de Parámetros Operacionales de Unidades Generadoras Renovables no Convencionales y Sistemas de Almacenamiento de Energía"

Esta metodología empleada permite determinar los tiempos de partida y de detención y la provisión al CEN de la información requerida por el Artículo 10 del Anexo Técnico:

- Información técnica, recomendaciones del fabricante y antecedentes, etc.
- Antecedentes de la operación de la unidad, registros, etc.
- Antecedentes técnicos que respalden el comportamiento esperado o desempeño registrado.

Los datos más importantes relevados son:

- Los tiempos desde el ingreso del parque hasta llegar al mínimo técnico y desde ese punto a máxima potencia y la tasa de incremento de la generación (MW/min).
- El tiempo mínimo de operación para su detención y la tasa de reducción de la generación (MW/min).

## 2. DESCRIPCIÓN DE LAS INSTALACIONES

### 2.1. Descripción general de la planta

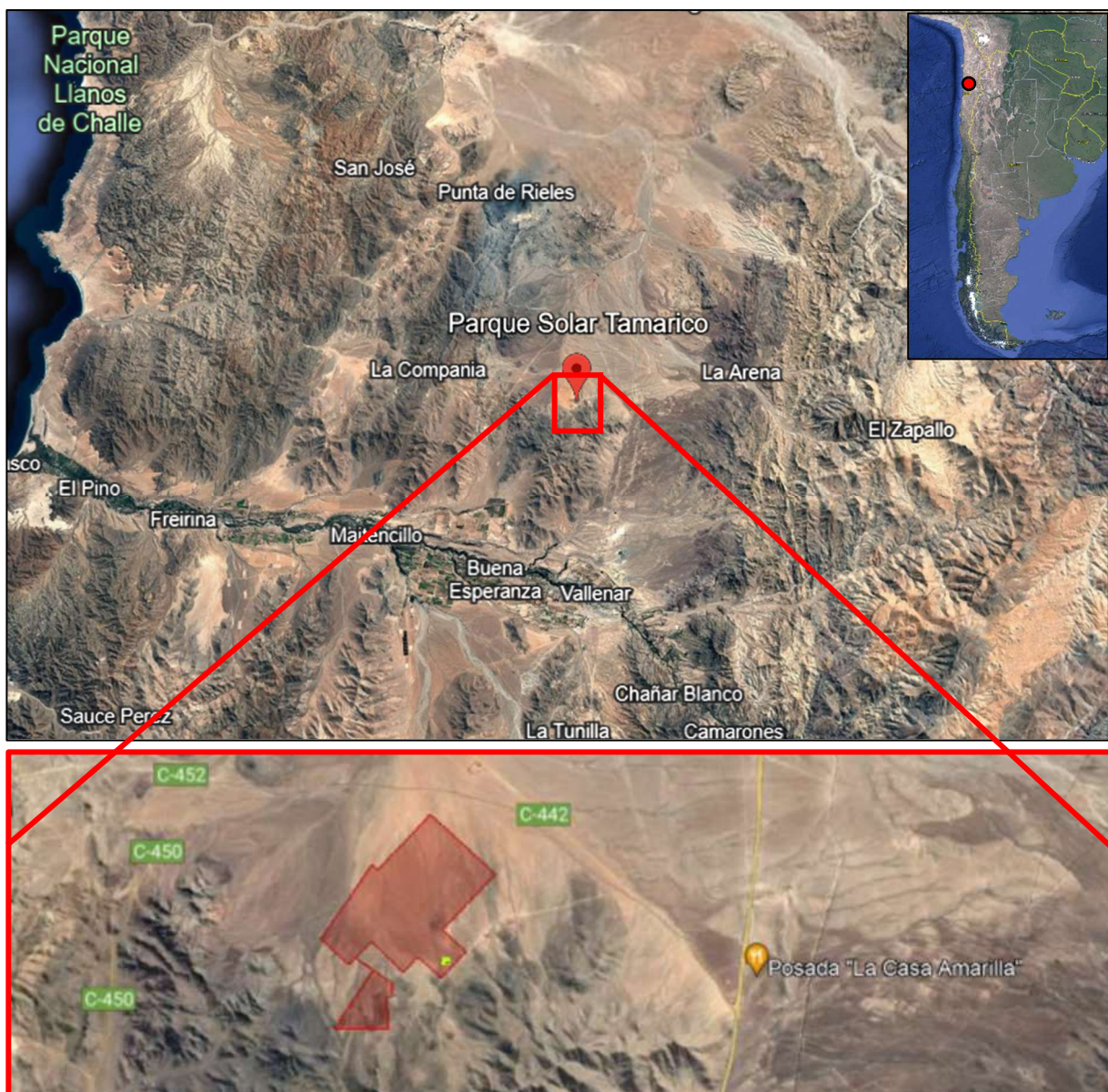
El PSFV Tamarico está situado en la comuna de Vallenar, región de Atacama, Chile. Esta central basada en tecnología solar fotovoltaica cuenta con una potencia comprometida de 144,7 MW en el punto de conexión, y una potencia instalada de 159,6 MVA para temperaturas de hasta 40°C.

La planta cuenta con los siguientes elementos instalados: 291.144 unidades de módulos fotovoltaicos marca Jinko con potencias de 560 Wp, 565 Wp y 570 Wp y con una capacidad acumulada de 164,73 MWdc (en STC); 38 inversores Power Electronics de 4.200 kVA; 16 centros de transformación de 8.400 kVA, en los cuales se conectan dos inversores y 6 centros de transformación de 4.200 kVA en los cuales se conecta un inversor. Estos centros de transformación elevan la tensión e inyectan la potencia hacia el sistema colector, el cual

está conformado por 8 cables acometen a una barra de 33 kV. Luego, la potencia erogada por el parque solar se evacua mediante dos cables de 50 m de longitud, los cuales conectan la barra del sistema colector junto con la SE Tamarico 1. Posteriormente, se eleva la tensión mediante un transformador de relación 220/33 kV y potencia 110 MVA/150 MVA/180 MVA (ONAN/ONAF1/ONAF2).

El punto de interconexión (POI) donde se comercializa la energía producida por el parque solar está situado eléctricamente en la barra de 220 kV de la SE Tamarico 1. Esta última, se conecta con la SE Verbenas mediante una línea de 220 kV con una longitud de 13.38 km. Adicionalmente, el punto de control por medio del Power Plant Controller (PPC) corresponde con el punto de interconexión del parque.

En el Gráfico 2 se muestra una imagen de la ubicación geográfica del parque. Luego, en el Gráfico 3 y el Gráfico 4 se observa el diagrama unilíneal de la SE Tamarico 1, en el Gráfico 5 se muestra el sistema colector del parque.

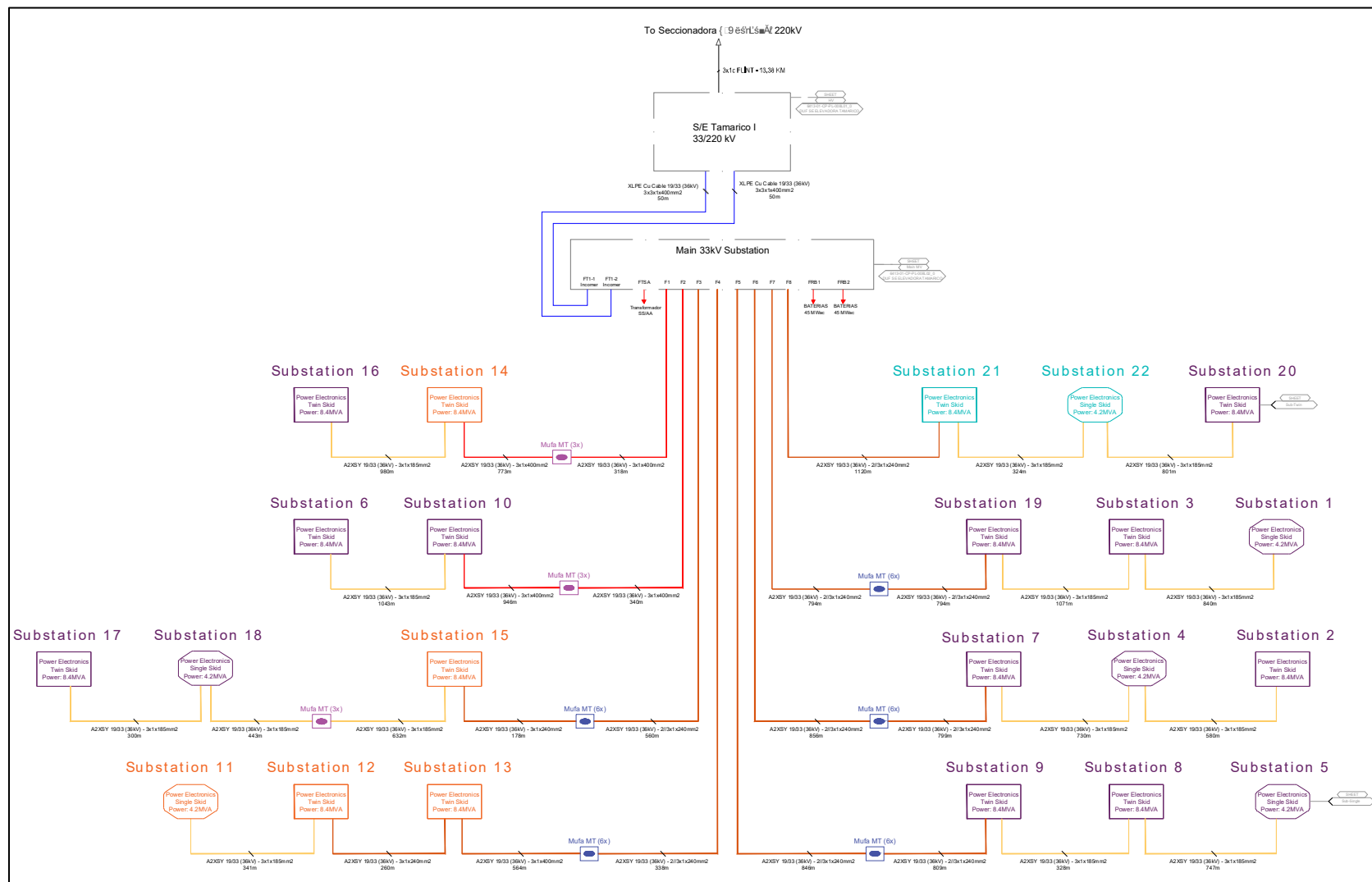


**Gráfico 2. Ubicación geográfica del PSFV Tamarico.**





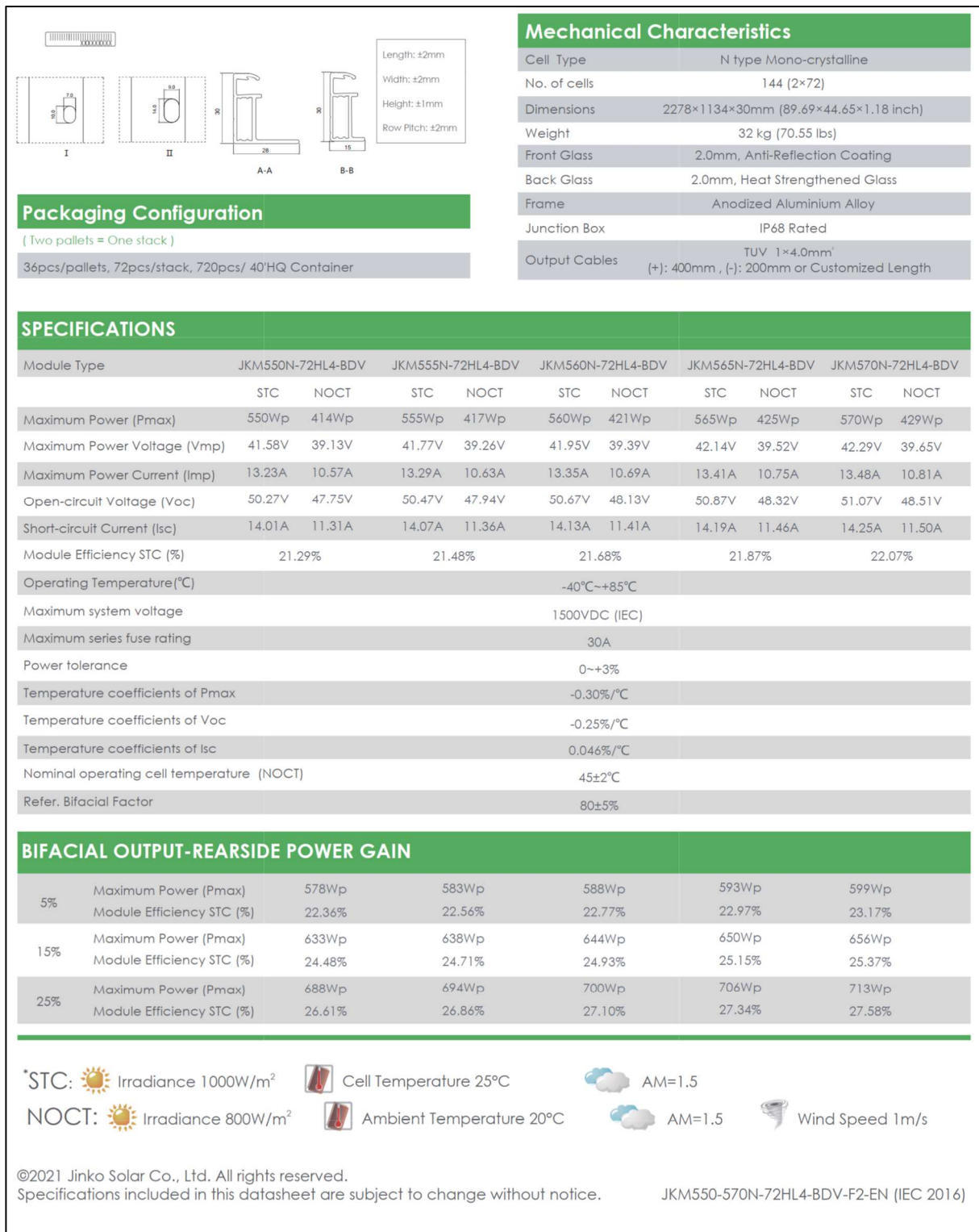




**Gráfico 5. Diagrama unilineal del sistema colector del PSFV Tamarico**

## 2.2. Datos de los paneles solares


Los paneles solares del PSFV Tamarico son de marca Jinko Solar y sus principales características se muestran a continuación:



**Gráfico 6. Características técnicas de los paneles solares.**

### 2.3. Datos de los inversores

El parque solar fotovoltaico Tamarico cuenta con 38 inversores marca Power Electronics modelo HEMK GEN 3 660 V – FS4200K, cuyas características técnicas se muestran en la siguiente figura:

		
TECHNICAL CHARACTERISTICS		HEMK GEN 3 660V
REFERENCE		FS4200K
OUTPUT	AC Output Power(kVA/kW) @40°C <sup>[1]</sup>	4200
	AC Output Power(kVA/kW) @50°C <sup>[1]</sup>	3900
	Max. AC Output Current (A) @40°C	3674
	Operating Grid Voltage(VAC) <sup>[2]</sup>	660V ±10%
	Operating Grid Frequency(Hz)	50Hz/60Hz
	Current Harmonic Distortion (THDi)	< 3% per IEEE519
	Power Factor (cosine phi) <sup>[3]</sup>	0.5 leading ... 0.5 lagging adjustable / Reactive power injection at night
INPUT	MPPt @full power (VDC)	934V-1500V
	Maximum DC voltage	1500V
	Number of PV inputs <sup>[2]</sup>	Up to 40
	Max. DC continuous current (A) <sup>[4]</sup>	4590
	Max. DC short circuit current (A) <sup>[4]</sup>	6940
EFFICIENCY & AUXILIARY SUPPLY	Efficiency (Max) (η)	98.90% (preliminary)
	Euroeta (η)	98.65% (preliminary)
	Max. Power Consumption (kVA)	10
CABINET	Dimensions [WxDxH] (ft)	11.8 x 6.5 x 7.2
	Dimensions [WxDxH] (m)	3.6 x 2.0 x 2.2
	Weight (lb)	12677
	Weight (kg)	5750
	Type of ventilation	Forced air cooling
ENVIRONMENT	Degree of protection	NEMA 3R - IP55
	Permissible Ambient Temperature	-35°C to +60°C / >50°C Active Power derating
	Relative Humidity	4% to 100% non condensing
	Max. Altitude (above sea level)	2000m; >2000m power derating (Max. 4000m)
	Noise level <sup>[5]</sup>	< 79 dBA
CONTROL INTERFACE	Communication protocol	Modbus TCP
	Plant Controller Communication	Optional
	Keyed ON/OFF switch	Standard
PROTECTIONS	Ground Fault Protection	GFDI and Isolation monitoring device
	General AC Protection	Circuit Breaker
	General DC Protection	Fuses
	Overvoltage Protection	AC, DC Inverter and auxiliary supply type 2
CERTIFICATIONS	Safety	UL1741, CSA 22.2 No.107.1-16, UL62109-1, IEC62109-1, IEC62109-2
	Compliance	NEC 2017 / IEC
	Utility interconnect	IEEE 1547.1-2005 / UL1741SA-Feb. 2018 / IEC62116:2014

[1] Values at 1.00·Vac nom and cos Φ= 1.  
Consult Power Electronics for derating curves.

[2] Consult Power Electronics for other configurations.

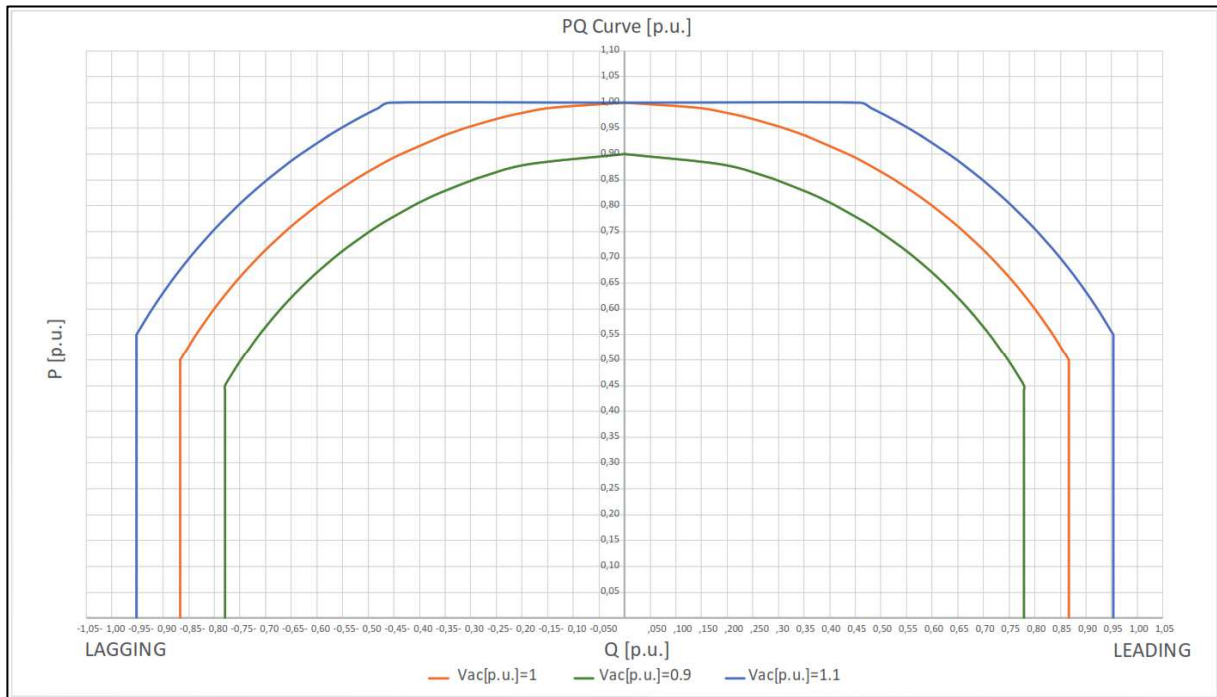
[3] Consult P-Q charts available:  $Q(kVAr)=\sqrt{(S(kVA))^2-P(kW)^2}$ .

[4] Consult Power Electronics for Freemaq DC/DC connection configurations.

[5] Readings taken 1 meter from the back of the unit.

**Gráfico 7. Características generales de los inversores.**

La curva de capacidad de los inversores se muestra a continuación:



**Gráfico 8. Curva de capacidad de los inversores.**

#### 2.4. Datos de los transformadores de bloque

La instalación cuenta con 16 transformadores elevadores de tres arrollamientos, con una potencia de 8,4 MVA, en los cuales se conectan 2 inversores (un inversor en cada arrollamiento secundario del transformador) y 6 transformadores de dos arrollamientos con una potencia de 4,2 MVA. Estos transformadores elevan la tensión e inyectan la potencia generada de los inversores hacia la red colectora de media tensión. Los datos técnicos se detallan a continuación:

**Tabla 1. Datos técnicos de los transformadores de bloque de dos arrollamientos.**

Parámetro	Valor
Potencia Nominal lado HV	4.2 MVA
Potencia Nominal lado MV	4,2
Refrigeración	ONAN
Frecuencia Nominal	50 Hz
Tensión nominal lado HV	34.5 kV
Tensión nominal lado MV	0,66 kV
Tipo de conexión	Dy11
Impedancia de corto circuito	8.5%
Perdidas en carga (HV-MV)	33,5 kW
Pérdidas de vacío	3,55 kW
Posiciones de Tap (sin carga)	±2x2,5%



**Tabla 2. Datos técnicos de los transformadores de bloque de tres arrollamientos.**

<b>Parámetro</b>	<b>Valor</b>
Potencia Nominal lado HV	8,4 MVA
Potencia Nominal lado MV	4,2
Potencia Nominal lado LV	4,2
Refrigeración	ONAN
Frecuencia Nominal	50 Hz
Tensión nominal lado HV	33 kV
Tensión nominal lado MV	0,66 kV
Tensión nominal lado LV	0,66 kV
Tipo de conexión	Dy11y11
Impedancia de corto circuito (HV-MV)	8%
Impedancia de corto circuito (MV-LV)	8%
Impedancia de corto circuito (LV-HV)	8 %
Perdidas en carga (HV-MV)	27,0 kW
Perdidas en carga (MV-LV)	0 kW
Perdidas en carga (LV-HV)	27,0 kW
Pérdidas de vacío	7,2 kW
Posiciones de Tap	±2x2,5%

## 2.5. Datos del transformador de potencia

Las características más importantes del transformador de potencia se resumen en la siguiente tabla:

**Tabla 3. Datos técnicos del transformador de potencia.**

<b>Parámetro</b>	<b>Valor</b>
Potencia Nominal	110/150/180 MVA
Refrigeración	ONAN/ONAF1/ONAF2
Frecuencia Nominal	50 Hz
Tensión nominal lado HV	220 kV
Tensión nominal lado LV	33 kV
Tipo de conexión	Ynd1
Impedancia de corto circuito	12,56% (base 180 MVA)
Perdidas en carga	535,546 kW
Pérdidas de vacío	38,934 kW
Posiciones de Tap (bajo carga)	±10 x 1,5%

## 2.6. Datos de los cables del sistema colector

La red colectora cuenta con conductores de 185 mm<sup>2</sup>, 240 mm<sup>2</sup> y 400mm<sup>2</sup>, todos conformados por ternas unipolares. Las características de distancias y distribución en circuitos colectores pueden observarse detalladamente en el Gráfico 5. Adicionalmente, en la siguiente tabla se resumen los parámetros característicos de cada sección de cable.

**Tabla 4. Datos técnicos de los cables del sistema colector.**

Sección [mm <sup>2</sup> ]	X1 [Ω/km]	R1 [Ω/km]	B [μs/km]	X0 [Ω/km]	R0 [Ω/km]	Corriente nominal [kA]
400	0,1136	0,1109	73,490	0,1997	0,6099	0,470
240	0,1173	0,1259	70,070	0,2096	0,6377	0,367
185	0,1220	0,1698	62,380	0,2884	0,7841	0,317

## 2.7. Reactor Zig zag

El PSFV Tamarico, cuenta con un reactor de Zig-Zag con la finalidad de limitar el valor de la corriente ante un cortocircuito a tierra. Las características principales del mismo se muestran a continuación:

**Tabla 5. Datos técnicos del reactor Zig - Zag.**

Parámetro	Valor
Tensión nominal	33 kV
Impedancia de secuencia cero	116 Ω
Corriente nominal (3*I0)	0,5 kA
Resistencia de puesta a tierra	38,1 Ω

## 2.8. Línea de transmisión

El punto de conexión del PSFV Tamarico corresponde con la SE Tamarico 1 220 kV. Luego, esta última se conecta a la SE Verbenas mediante una línea de AT. Las características de esta línea se resumen en la siguiente tabla.

**Tabla 6. Datos técnicos de la línea de transmisión.**

Parámetro	Valor
Circuitos	1
Tensión nominal	220 kV
Frecuencia nominal	50 Hz
Longitud	13,78 km
Corriente nominal (a 25 °C)	0,767 kA
Resistencia de secuencia positiva (20 °C)	0,09081 Ω/km
Reactancia de secuencia positiva	0,4068 Ω/km
Susceptancia de secuencia positiva	2,8426 μs/km
Resistencia de secuencia cero (a 20 °C)	0,3274 Ω/km
Reactancia de secuencia cero	1,1910 Ω/km
Susceptancia de secuencia cero	1,5292 μs/km

### 3. ANTECEDENTES DE UNIDADES DE SIMILARES CARACTERÍSTICAS

El PSFV Tamarico presentó parámetros de desempeño equivalentes al PSFV Meseta de los Andes cuyos parámetros más relevantes se muestran a continuación<sup>1</sup>:

**Tabla 7. Proceso de Arranque en PSFV Meseta de los Andes.**

Parámetro técnico	I) Desde el inicio del proceso de partida hasta la sincronización	II) Desde la sincronización hasta alcanzar la operación a Mínimo Técnico	III) Desde la operación a Mínimo Técnico hasta la operación a potencia nominal
Combustible utilizado durante el proceso	N/A	N/A	N/A
Energía eléctrica consumida durante el proceso [kWh]	N/A	2.53	39.93
Duración del proceso [min]	N/A	0'19"	5'00"

**Tabla 8. Proceso de partida en el PSFV Meseta de los Andes.**

Parámetro técnico	IV) Desde la operación a potencia nominal a Mínimo Técnico	V) Desde la operación a mínimo Técnico hasta la desconexión	VI) Desde la desconexión de la unidad hasta el término del proceso de detención	VII) Operación mínima antes de poder detenerse, una vez concluido un proceso de partida
Combustible utilizado durante el proceso	N/A	N/A	N/A	N/A
Energía eléctrica consumida durante el proceso [kWh]	39.4	0.27	N/A	N/A
Duración del proceso [min]	4'56"	0'02"	N/A	N/A

### 4. ENSAYOS REALIZADOS

#### 4.1. Descripción de las pruebas

De acuerdo con el Anexo Técnico "Determinación de Parámetros para los Procesos de Partida y Detención de Unidades Generadoras", el Proceso de Partida es aquel que permite llevar la unidad desde el estado de apagado hasta su estado de mínimo técnico, inyectando energía al SI de manera segura y estable. Por otro lado, el proceso de Detención se establece entre el estado de mínimo técnico de la unidad hasta que la misma se encuentra

<sup>1</sup> <https://infotecnica.coordinador.cl/instalaciones/unidades-generadoras>

en estado de apagado, sin entregar energía al SI.

Para la realización de los ensayos se consideró el proceso de partida y detención de la planta completa y luego se repitió el proceso considerando un inversor operativo (que en el caso del PSFV Tamarico fue el INV25).

Para el caso del proceso de partida, partiendo del estado de apagado (potencia nula), se le dio la consigna de mínimo técnico y una vez alcanzado este punto se envió la consigna de potencia máxima. En el caso del proceso de detención, partiendo del estado de potencia máxima disponible se envió la consigna de potencia mínima y luego de alcanzado este punto se envió la consigna de pausa registrando la evolución de las variables de interés en todo el proceso.

El valor de potencia máxima se obtuvo desde el informe respectivo, bajo los supuestos allí indicados, permitiendo así determinar un valor representativo para el PFV Tamarico, el cual no estuviese afecto a las limitaciones de inyección de potencia producto de la capacidad de transmisión disponible experimentada durante el desarrollo de las pruebas en campo.

De acuerdo con lo anterior, para obtener los valores de los parámetros de partida y detención desde potencia máxima (determinada en el informe correspondiente) se corrigieron los valores obtenidos en la prueba considerando la rampa actual configurada en la central (20 %/min tanto para subida como bajada). Esta rampa es única y es válida para todo el rango operativo de la central como se señala en el diagrama en bloques mostrado del Anexo, donde se muestra que la limitación de rampa (RUset, RDset) es aplicable al setpoint de potencia independiente del despacho y es única, validando así la corrección de los tiempos de partida y detención.

#### 4.2. Toma de registros de parámetros de partida y detención

Para la realización de este ensayo parámetros de partida y detención se emplearon los registros obtenidos mediante el equipamiento del consultor. Los registros temporales empleados tienen una resolución de 40 milisegundos.

#### 4.3. Resultados obtenidos

##### 4.3.1 Determinación del consumo de servicios auxiliares

En el documento del fabricante denominado "**Tamarico\_Consumption Calculations Rev.0\_2023.0.0**" (adjunto en la sección Anexo), se muestra la determinación de los servicios auxiliares de los inversores por centro de transformación. En la siguiente tabla se resume el consumo de SSAA de los inversores:

**Tabla 9. Consumo de los SSAA de los inversores.**

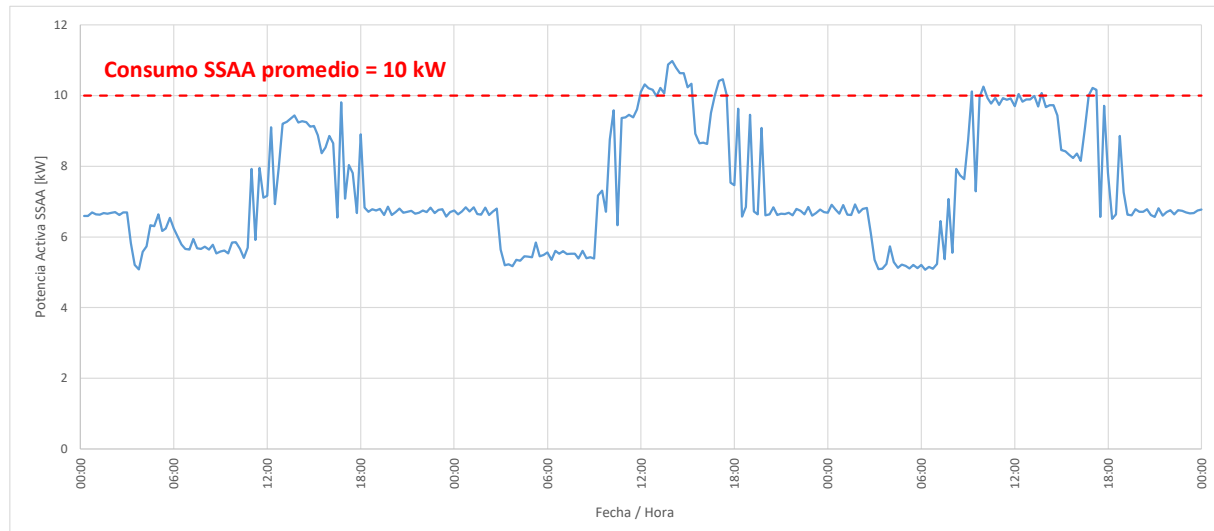
CT	Consumo SSAA [W]
SUBS 01, 04, 05, 11	39,084
SUB 02	19,456
SUBS 06, 07, 08, 10, 12, 13, 14, 21	154,336
SUBS 03, 09	19,642
SUB 15	19,564
SUB 16	19,346
SUB 17	19,492
SUB 18	9,821

SUB 19	19,342
SUB 20	19,382
SUB 22	9,821
<b>Total</b>	<b>349,286</b>

De lo anterior para las pruebas con el parque completo el consumo de SSAA será de:

$$P_{SSAA\ INV} = 0,3493\ MW$$

Para el caso de los servicios auxiliares de la subestación, se registró un consumo promedio durante las horas del día de 10 kW:



**Gráfico 9. Consumo de SSAA esenciales de la SE Tamarico.**

$$P_{SSAA\ SE} = 0,0100\ MW$$

La Potencia de Servicios Auxiliares corresponde a la suma de los consumos propios del inversor en operación más los Servicios Auxiliares del parque:

$$P_{SSAA} = P_{SSAA\ SE} + P_{SSAA\ INV}$$

Para el caso de los ensayos de partida y detención considerando el parque completo se tiene:

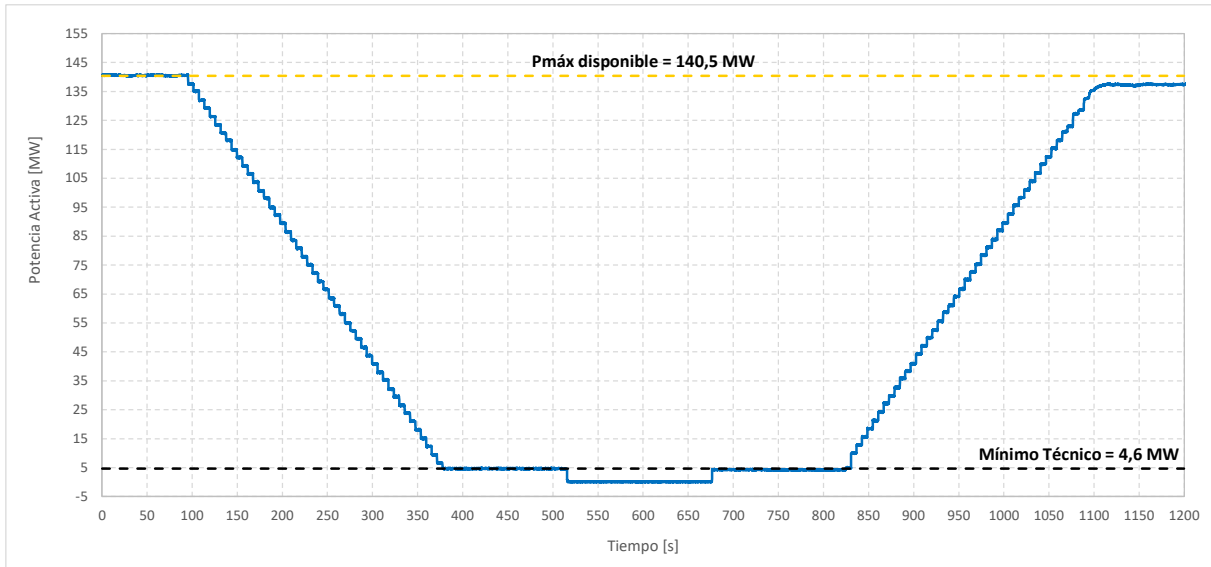
$$P_{SSAA} = 0,0100\ MW + 0,3493\ MW = 0,3593\ MW$$

En el caso de los ensayos de partida y detención considerando un inversor en funcionamiento (INV 25) el consumo de servicios auxiliares queda determinado como sigue:

$$P_{SSAA} = 0,010\ MW + 0,0190\ MW = 0,0290\ MW$$

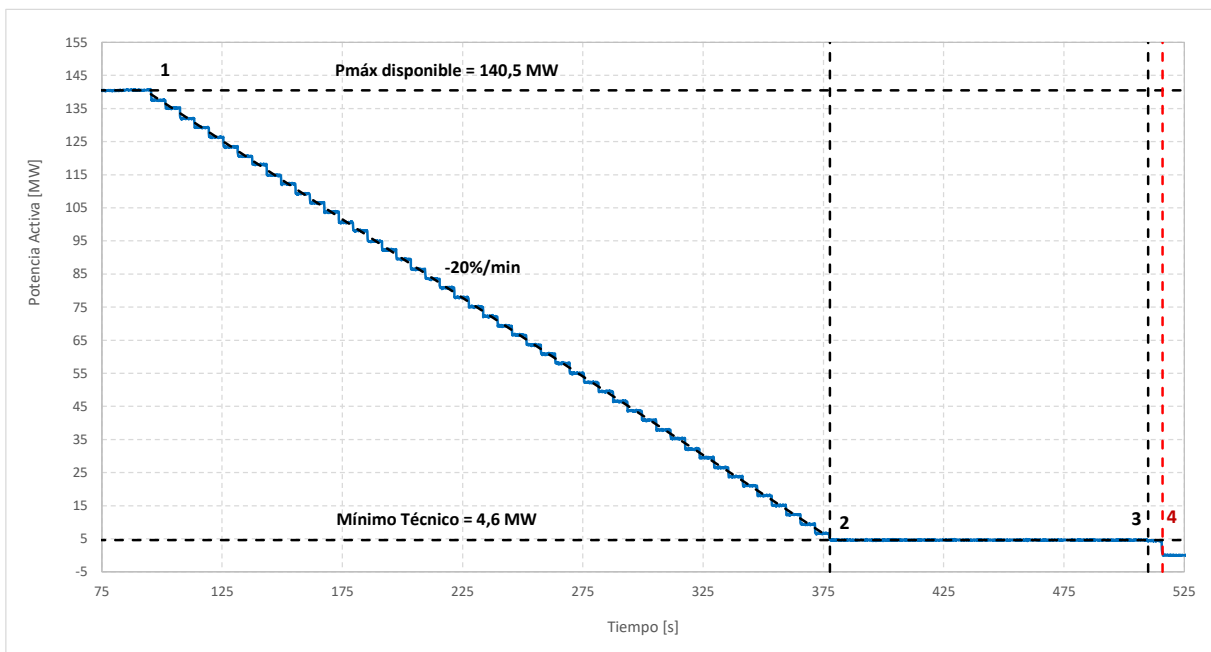
#### 4.3.2 Parámetros de Partida y Detención a nivel parque

Se obtuvieron registros de potencia activa en el punto de conexión del PSFV Tamarico (sobre la barra de 220 kV de la SE Tamarico 1). El proceso de partida y detención sobre el parque completo se efectuó durante el jueves 14/11/2024, cambiando las consignas de producción por medio del control de planta del parque. La evolución de la potencia activa durante el proceso se muestra a continuación:

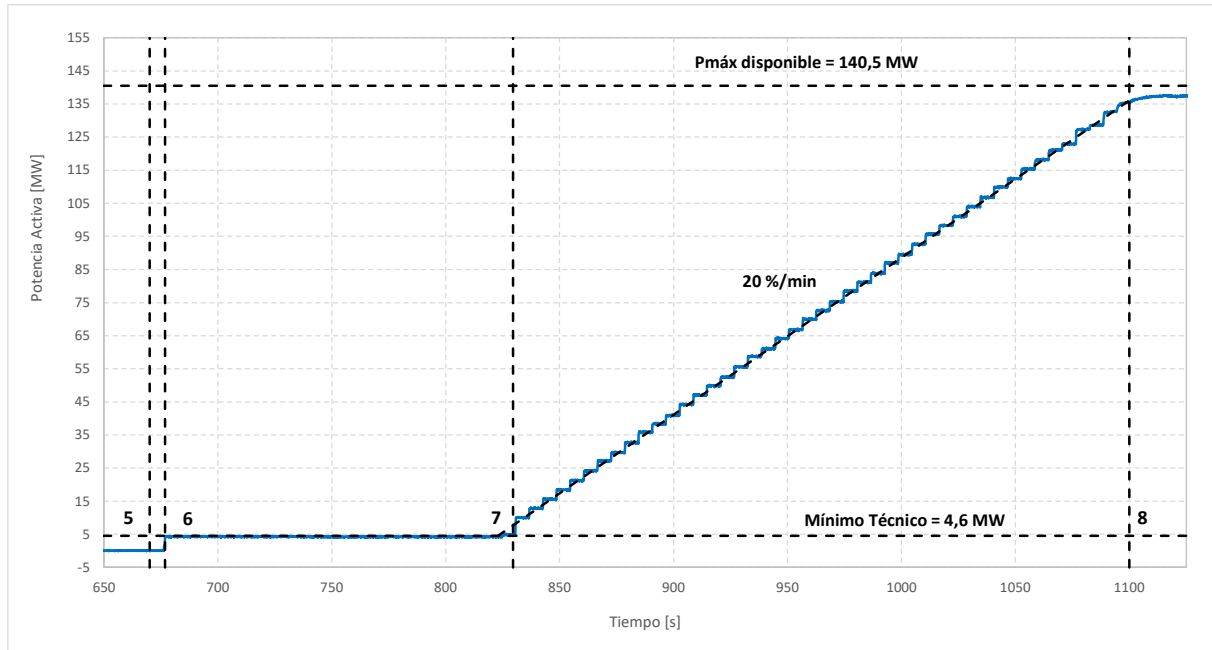


**Gráfico 10. Potencia activa durante el proceso de partida y detención del parque fotovoltaico.**

El detalle del proceso de partida y detención se muestra en los gráficos siguientes:



**Gráfico 11. Detalle del proceso de detención para el parque completo.**



**Gráfico 12. Detalle del proceso de partida para el parque completo.**

A partir de los gráficos anteriores pueden verificarse los hitos que se muestran en la siguiente tabla:

**Tabla 10. Estampas de tiempo para el proceso de partida y detención a nivel planta.**

ítem	Evento	Tiempo [hh:mm:ss]
1	Orden de mínimo técnico	16:14:57
2	Llegada a mínimo técnico (detención)	16:19:05
3	Orden de detención	16:21:42
4	Detención de unidades	16:21:54
5	Orden de partida	16:24:28
6	Llegada a mínimo técnico (partida)	16:24:34
7	Orden de Potencia máxima	16:26:56
8	llegada a potencia máxima	16:31:47

Para el proceso de detención, desde una potencia de 140,5 MW se envía el comando de mínimo técnico a los 95,4 s, registrando un tiempo hasta llegar a mínimo técnico de  $TM = 248$  s. Luego estando en mínimo técnico se envía una consigna de parada de unidades a los 167 s, registrando un tiempo de detención de **TD = 14 s**. Durante el proceso de detención hasta mínimo técnico se observó que la planta reduce su potencia con una tasa de  $-20 \text{ %/min}$ , cumpliendo así con la tasa configurada en el control de potencia activa del control de planta. Como la **potencia máxima de la central en el POI es de 144,7 MW**,

luego se recalcula el parámetro TM considerando la tasa -20 %/min resultando un valor de **\*TM = 281,7553 s.**

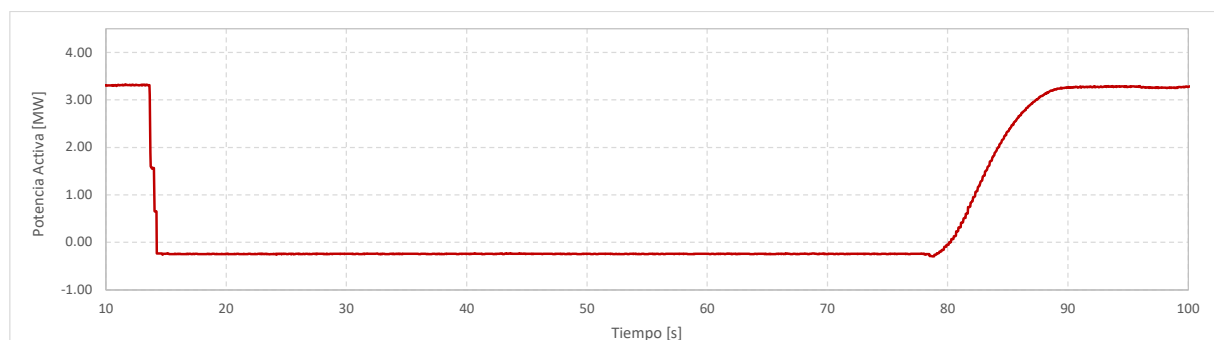
Para el proceso de detención, se establece el tiempo mínimo de operación (TMO) en cero. Es decir, no existen restricciones de tiempo de operación antes de dar inicio al proceso de detención. Adicional a lo anterior, no existen restricciones operativas para dar el comando de detención una vez alcanzado el mínimo técnico.

Para el proceso de partida, se envía el comando de partida de las unidades a los 154 s, registrando un tiempo hasta alcanzar el mínimo técnico de TB = 6 s. Luego se envía el comando de potencia máxima a los 210 s y se registra un tiempo hasta llegar a la potencia máxima disponible (137,5 MW) de TA = 291 s. El mismo valor de pendiente (+20 %/min) se verifica durante el proceso de partida desde mínimo técnico hasta potencia máxima. De igual forma que para el proceso de detención, se recalcula el parámetro TA considerando que la potencia máxima en el POI es de **es de 144,7 MW**, resultando un valor de **\*TA = 281,7553 s.**

Para el proceso de partida, se establece el Tiempo Mínimo de Detención (TMD) en cero. Es decir, no hay restricciones de tiempo para realizar el proceso de partida de la planta tras el proceso de detención. Adicional a lo anterior, no existen restricciones operativas para dar el comando de partida una vez alcanzado el mínimo técnico.

#### 4.3.3 Parámetros de Partida y Detención a nivel inversor

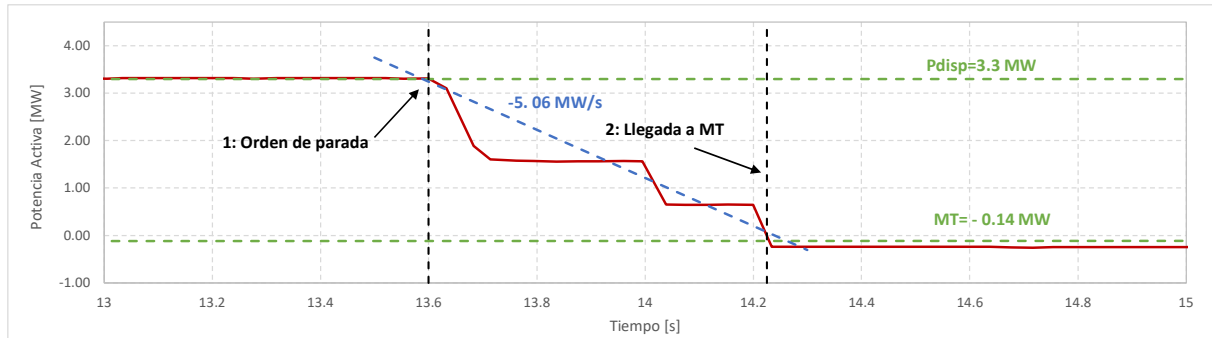
Se obtuvieron registros de potencia activa en el POI, mientras se encontraba únicamente conectado el INV 25 (inversor más cercano al momento de realizar los ensayos). El proceso de partida y detención a nivel inversor se efectuó durante el lunes 21/10/2024, cambiando la orden de detención y luego de partida del inversor a través del modo local. La evolución de la potencia activa durante el proceso se muestra a continuación:



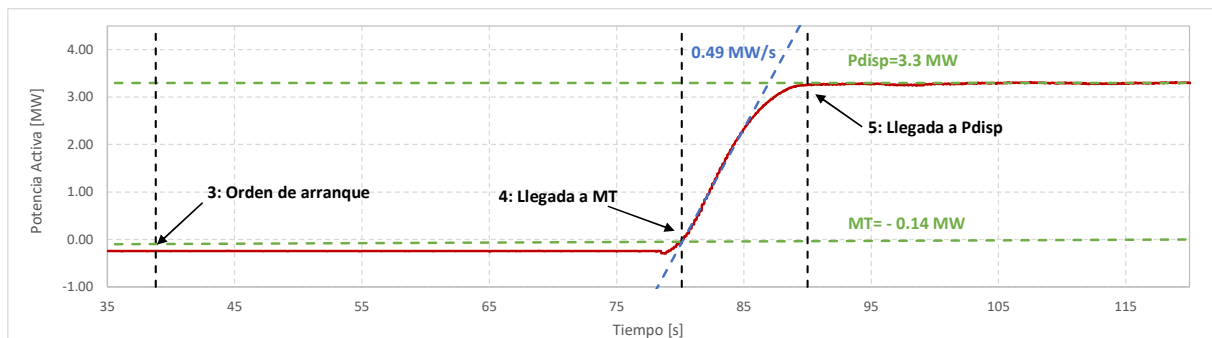
**Gráfico 13. Potencia activa durante el proceso de partida y detención a nivel inversor.**

El detalle del proceso de partida y detención se muestra en los gráficos siguientes:





**Gráfico 14. Detalle del proceso de detención a nivel inversor.**



**Gráfico 15. Detalle del proceso de arranque a nivel inversor.**

A partir de los gráficos anteriores pueden verificarse los hitos que se muestran en la siguiente tabla:

**Tabla 11. Estampas de tiempo para el proceso de partida y detención a nivel inversor.**

ítem	Evento	Tiempo [hh:mm:ss]
1	Orden de detención	16:58:20
2	Llegada a mínimo técnico (detención)	16:58:20
3	Orden de arranque	16:58:45
4	Llegada a mínimo técnico (arranque)	16:59:27
5	Llegada a potencia máxima	16:59:37

Durante el proceso de detención hasta mínimo técnico se observó que el inversor reduce su potencia con una tasa de  $-5,06 \text{ MW/s}$ . En el caso del proceso de partida la pendiente calculada es de  $0,49 \text{ MW/s}$

Para el proceso de detención, se establece el tiempo mínimo de operación (TMO) en cero. Es decir, no existen restricciones de tiempo de operación antes de dar inicio al proceso de detención.

Para el proceso de partida, se establece el Tiempo Mínimo de Detención (TMD) en cero. Es decir, no hay restricciones de tiempo para realizar el proceso de partida de la planta tras el proceso de detención.

Se tomó como potencia mínima a nivel inversor el valor de 0,3820 kW, que es el valor de potencia mínima para un inversor en funcionamiento.

Al momento de realizar la prueba la potencia máxima disponible a nivel inversor era de 3,5 MW (en función del recurso existente en ese momento), luego los parámetros de partida y detención se corrigen a la potencia nominal del inversor, es decir, a 4,2 MW.

## 5. CONCLUSIONES

En base a los registros obtenidos en el ensayo de partida y detención del PSFV Tamarico se determinaron los parámetros asociados a la partida y detención del parque completo. Como no se realiza detención entre la Condición Fuera de Servicio y el Estado Apagado, no aplica la medición de tiempos ni el cálculo de energía eléctrica durante los hitos I) y VI) de las siguientes tablas.

Por otra parte, en base a los resultados obtenidos a sobre el inversor INV 25 se determinaron los parámetros de partida y detención que caracterizan el comportamiento de un inversor. Cabe aclarar que como no se realiza detención entre la Condición Fuera de Servicio y el Estado Apagado, por lo tanto, no aplica la medición de tiempos ni el cálculo de energía eléctrica durante los hitos I) y VI) de las siguientes tablas.

**Tabla 12. Parámetros de partida del Parque Solar Fotovoltaico Tamarico.**

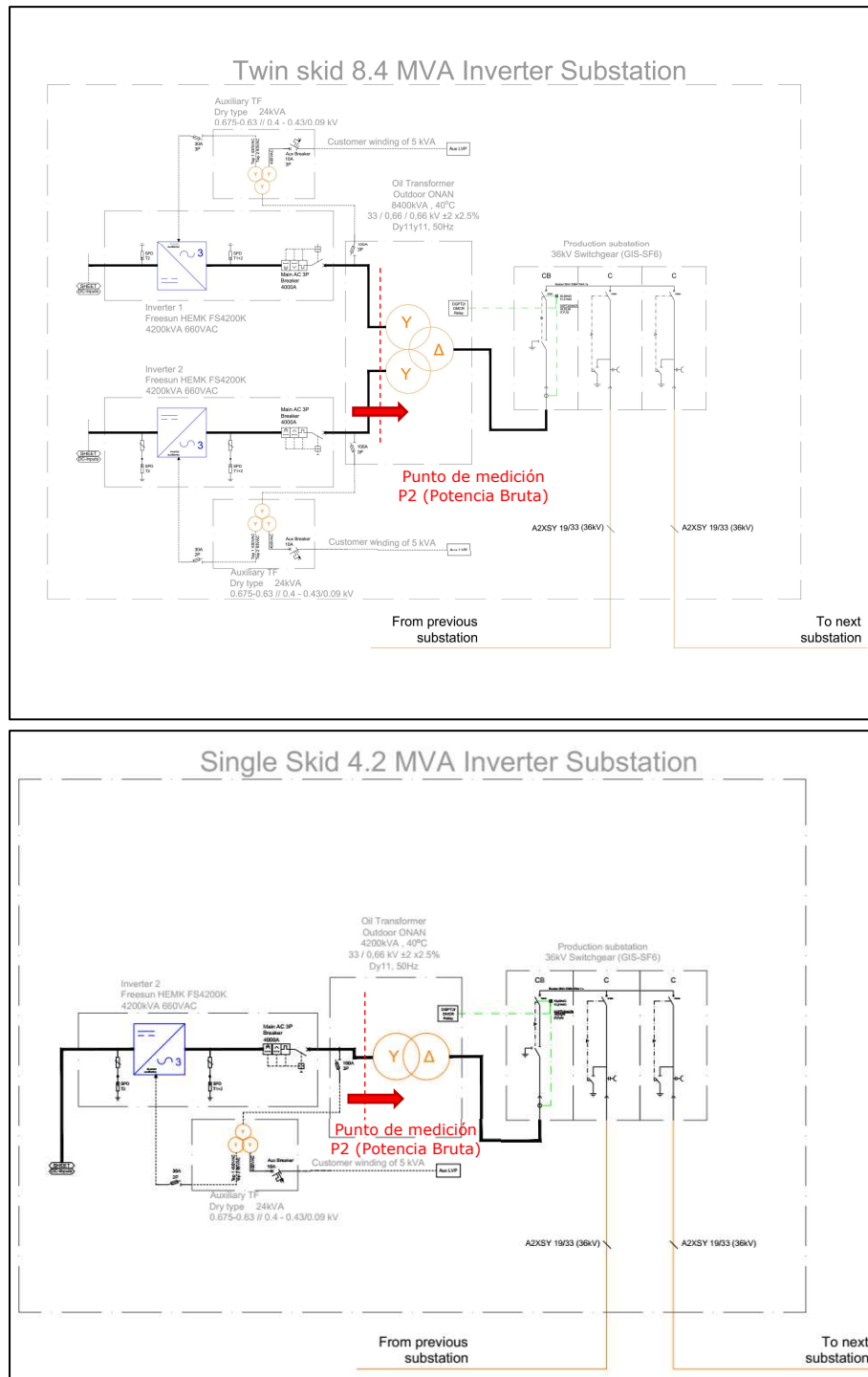
Etapa	Parámetro	Inversor	Central
Partida - Sincronización	Consumo SSAA [MWh]	N/A	N/A
	Tiempo [minutos]	N/A	N/A
Sincronización - Mínimo técnico	Consumo SSAA [MWh]	0,0003	0,0006
	Tiempo [minutos]	0,7000	0,1000
Mínimo técnico - Potencia Nominal	Consumo SSAA [MWh]	0,0000	0,0290
	Tiempo [minutos]	0,1666	4,8500

**Tabla 13. Parámetros de detención del Parque Solar Fotovoltaico Tamarico.**

Etapa	Parámetro	Inversor	Central
Potencia Nominal - Mínimo técnico	Consumo SSAA [MWh]	0,0000	0,0247
	Tiempo [minutos]	0,0011	4,1333
Mínimo técnico - Desconexión	Consumo SSAA [MWh]	0,0002	0,0167
	Tiempo [minutos]	0,4166	2,7833
Desconexión - Detención	Consumo SSAA [MWh]	N/A	N/A
	Tiempo [minutos]	N/A	N/A

# ANEXOS

## 1. CARACTERÍSTICAS DE LAS INSTALACIONES



**Gráfico 16. Skids de inversores centrales PSFV Tamarico.**

## 2. DETERMINACIÓN DE LOS SERVICIOS AUXILIARES DE LOS INVERSORES

Annex 1 - Tamarico Consumption losses  
Rev.0

Subs 01,04,05,11		Sub 02		Sub 06,07,08,10,12,13,14,21		Subs 03,09	
Loads	Operating consumption (W)	Loads	Operating consumption (W)	Loads	Operating consumption (W)	Loads	Operating consumption (W)
PE Single skid consumptions	9521	PE Twin skid consumptions	19042	PE Twin skid consumptions	19042	PE Twin skid consumptions	9521
1x NCU's	50	1x NCU's	50	1x NCU's	50	1x NCU's	50
SCADA Panel	200	SCADA Panel	200	SCADA Panel	200	SCADA Panel	200
		CCTV Panel	50			Weather Station	50
		CCTV Branch	63				
		CCTV Branch	51				
<b>Total consumption</b>	<b>9771</b>	<b>Total consumption</b>	<b>19456</b>	<b>Total consumption</b>	<b>19292</b>	<b>Total consumption</b>	<b>9821</b>
<b>Total consumption of all subs</b>	<b>39084</b>	<b>Total consumption of all subs</b>	<b>19456</b>	<b>Total consumption of all subs</b>	<b>154336</b>	<b>Total consumption of all subs</b>	<b>19642</b>

Sub 15		Subs 16		Subs 17		Subs 18	
Loads	Operating consumption (W)	Loads	Operating consumption (W)	Loads	Operating consumption (W)	Loads	Operating consumption (W)
PE Twin skid consumptions	19042	PE Twin skid consumptions	19042	PE Twin skid consumptions	19042	PE Single skid consumptions	9521
1x NCU's	50	1x NCU's	50	1x NCU's	50	1x NCU's	50
SCADA Panel	200	SCADA Panel	200	SCADA Panel	200	SCADA Panel	200
Weather Station	50	CCTV Panel	54	Weather Station	50	CCTV Panel	50
CCTV Panel	50			CCTV Branch	150		
CCTV Branch	172						
<b>Total consumption</b>	<b>19564</b>	<b>Total consumption</b>	<b>19346</b>	<b>Total consumption</b>	<b>19492</b>	<b>Total consumption</b>	<b>9821</b>
<b>Total consumption of all subs</b>	<b>19564</b>	<b>Total consumption of all subs</b>	<b>19346</b>	<b>Total consumption of all subs</b>	<b>19492</b>	<b>Total consumption of all subs</b>	<b>9821</b>

Subs 19		Subs 20		Subs 22	
Loads	Operating consumption (W)	Loads	Operating consumption (W)	Loads	Operating consumption (W)
PE Twin skid consumptions	19042	PE Twin skid consumptions	19042	PE Single skid consumptions	9521
1x NCU's	50	1x NCU's	50	1x NCU's	50
SCADA Panel	200	SCADA Panel	200	SCADA Panel	200
CCTV Panel	50	CCTV Branch	90	Weather Station	50
		CCTV Branch	54		
<b>Total consumption</b>	<b>19342</b>	<b>Total consumption</b>	<b>19382</b>	<b>Total consumption</b>	<b>9821</b>
<b>Total consumption of all subs</b>	<b>19342</b>	<b>Total consumption of all subs</b>	<b>19382</b>	<b>Total consumption of all subs</b>	<b>9821</b>

## 3. DIAGRAMAS DEL CONTROL DE PLANTA

